

# 水素原子のシュレディンガー方程式を最も単純なやり方で解く

田浦

## 1

水素原子中の電子の波動関数  $\phi(\mathbf{x})$  が満たす、時間に依存しない方程式は、

$$\left(-\frac{\hbar^2}{2m}\nabla^2 + V(\mathbf{x})\right)\phi(\mathbf{x}) = E\phi(\mathbf{x}) \quad (1)$$

ここで、

$$V(\mathbf{x}) = -\frac{e^2}{4\pi\epsilon_0|\mathbf{x}|} \quad (2)$$

なので結局、

$$\left(-\frac{\hbar^2}{2m}\left(\frac{\partial^2}{\partial x^2} + \frac{\partial^2}{\partial y^2} + \frac{\partial^2}{\partial z^2}\right) - \frac{e^2}{4\pi\epsilon_0\sqrt{x^2+y^2+z^2}}\right)\phi(x,y,z) = E\phi(x,y,z) \quad (3)$$

が解くべき方程式.

## 2 離散化

解を求める空間を

$$[-a, a]^3 \equiv \{(x, y, z) \mid -a \leq x, y, z \leq a\} \quad (4)$$

とし、一辺を  $(n+1)$  等分して離散化する  $(x_{-1} = -a, x_{i+1} = x_i + 2a/(n+1), x_n = a)$ .

$$\phi_{i,j,k} \equiv \phi(x_i, y_j, z_k) \quad (5)$$

と定義し、式 (3) を離散化する. 例えば

$$\frac{\partial^2}{\partial x^2}\phi(x, y, z) \approx \frac{\phi(x+d, y, z) - 2\phi(x, y, z) + \phi(x-d, y, z)}{\Delta x^2} \quad (6)$$

したがって、

$$-\frac{\hbar^2}{2m\Delta x^2}(\phi_{i+1,j,k} + \phi_{i-1,j,k} + \phi_{i,j+1,k} + \phi_{i,j-1,k} + \phi_{i,j,k+1} + \phi_{i,j,k-1} - 6\phi_{i,j,k}) - \frac{e^2}{4\pi\epsilon_0\sqrt{x_i^2 + y_j^2 + z_k^2}}\phi_{i,j,k} = E\phi_{i,j,k} \quad (7)$$

ただし  $\Delta x = 2a/(n+1)$ .

ただし境界条件は無限遠で  $\phi = 0$  というものだが、考えている領域の境界で 0 とする.

## 3 Python 化

$\phi_{i,j,k}$  を辞書順に並べたベクトルを  $\phi$  とする.

$$\phi = {}^t(\phi_{0,0,0} \ \phi_{0,0,1} \ \cdots)$$

その約束のもと、左辺を

$$H\phi$$

と書いた時、 $H$  に相当する行列を作ることだけが仕事で、あとは固有値を求める scipy の関数に放り込めば良い.  
まず

$$\phi_{i+1,j,k} + \phi_{i-1,j,k} + \phi_{i,j+1,k} + \phi_{i,j-1,k} + \phi_{i,j,k+1} + \phi_{i,j,k-1} - 6\phi_{i,j,k}$$

を  $L\phi$  と書いた時の  $L$  は、対角成分に  $-6$ 、あとは非対角各成分に 1 を持つような帯が 6 つ並ぶだけの行列で、scipy では、diags を用いて簡単に書ける.

```

1 L = scipy.sparse.diags([-6.0, 1.0, 1.0, 1.0, 1.0, 1.0, 1.0],
2                        [ 0, 1, -1, n, -n, n*n, -n*n],
3                        shape=(n**3, n**3))

```

次に、

$$\frac{1}{\sqrt{x_i^2 + y_j^2 + z_k^2}} \phi_{i,j,k}$$

を  $D\phi$  と書いたときの  $D$  に相当する行列は、単なる対角行列で、 $\phi_{i,j,k}$  に対する添字が  $1/\sqrt{x_i^2 + y_j^2 + z_k^2}$  であるというもの。 $\phi_{i,j,k}$  は  $n^2i + nj + k$  番目の成分だからそれを用いてその行列を作ることもできるが、もっと簡単なのはまず 3 次元配列として作ってから 1 次元に reshape するというやり方。

```

1 l = np.linspace(-a, a, n+2)[1:-1] # [-a,a]を (n+1)等分した内点n 個
2 x,y,z = np.meshgrid(l, l, l)      # x,y,z それぞれが n x n x n 配列
3 V = 1.0 / np.sqrt(x*x+y*y+z*z)    # V も n x n x n (universal 関数)
4 D = scipy.sparse.diags([ V.flatten() ], [ 0 ]) # flatten で 1 次元配列にする

```

上記のようにして  $L, D$  を得たら、

$$H = -\frac{\hbar^2}{2m\Delta x^2}L - \frac{e^2}{4.0\pi\epsilon_0}D$$

とすればよい。

ただし行列を目視で確認するとき絶対値の小さい値ばかりだと見難いので、 $L$  の係数が 1 になるようにスケールさせておく。

$$H' = -L - \frac{m\Delta x^2 e^2}{2\pi\epsilon_0 \hbar^2} D$$

付録のコードで計算しているのはこの  $H'$  である。

## 4 固有値ソルバ

`scipy.sparse.linalg` に、`eigs` (一般の行列用), `eigsh` (対称 (半?) 正定値行列用) の 2 種類がある。対称は間違いないのだが、正定値かどうか確信のないまま結果オーライで後者を使っている。

多数の固有値固有ベクトルのうち、どれを返すか (`which`), いくつ返すか (`k`) というオプションがあり、`which` が重要。algebraically smallest (つまり絶対値ではなく普通に符号を含めて小さいものを選ぶ) `which='SA'` を用いる。`k` は表示したいだけ選べばよく、とりあえず 6 としている。

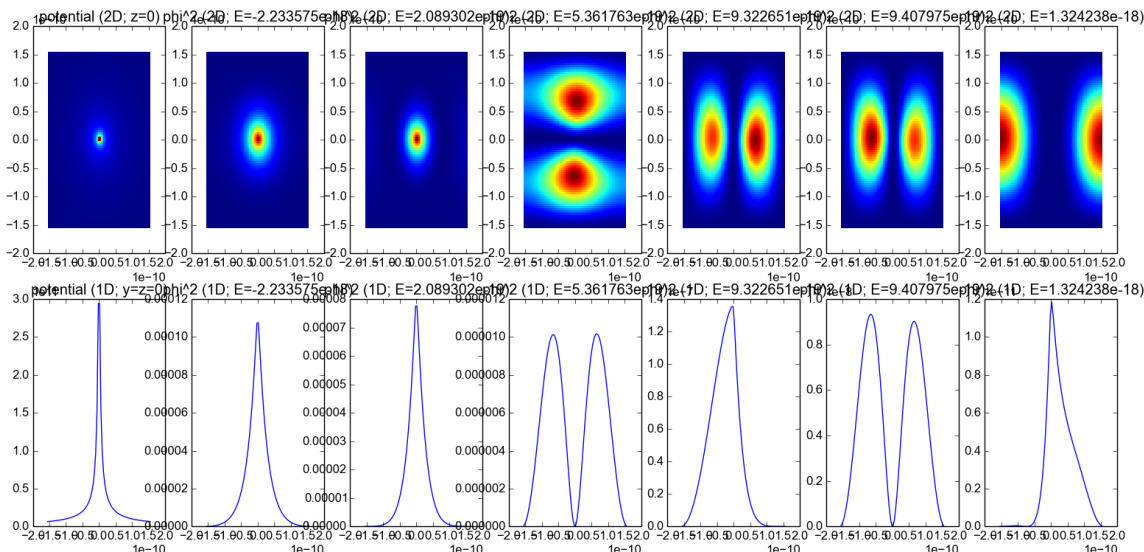
```

1 scipy.sparse.linalg.eigsh(H_, k=6, which='SA', tol=tol)

```

## 5 結果

なんとなくそれっぽいものが得られている気が。左端がポテンシャル。あとは左からエネルギーが小さい順に並べたもの。



なお、最小の固有値は、 $-2.23308690 \times 10^{-18}$  [J] と出ており、これは「水素原子 基底状態 エネルギー」とかでググって出てくる値と近いもので、いいのではないかという気がしています。

## A 7/1 時点のコード

実質的な仕事をしているのは `make_lhs_matrix` という 10 文ほどの関数.

```
1  #!/usr/bin/python
2  # -*- coding: utf-8 -*-
3  import math, random
4  import numpy as np
5  import scipy.sparse
6  import scipy.sparse.linalg
7  from mpl_toolkits.mplot3d import Axes3D
8  import matplotlib.pyplot as plt
9  import time
10
11 #
12 # solve time-independent shrodinger equation:
13 #
14 #  $(-\hbar'^2/2m \Delta + V(x)) f = E f$ 
15 #
16 # where  $V(x) = -e * e / (4.0 * \pi * \epsilon \text{psilon} |x|)$ 
17 #
18 #  $\hbar' = \hbar / (2 \pi)$  ( $\hbar$  is a plank constant)
19 #  $m$  = mass of electron
20 #  $e$  = charge of photon
21 #  $\epsilon \text{psilon}$  = permittivity of vacuum
22 #
23
24 eps = 8.854187817e-12
25 m = 9.10938291e-31
26 e = -1.602176565e-19
27 h = 6.62606957e-34
28 h_ = h / (2.0 * math.pi)
29 r = 5.3e-11
30
31 #
32 # make the lefthand side matrix of
33 #
34 #  $((-\hbar'^2 / (2.0 * m)) \Delta - e^2 / (4.0 * \pi * \epsilon \text{psilon}) * 1.0 / |x|) f = E f$ 
35 #
36 # in space  $[-a, a] \times [-a, a] \times [-a, a]$ ,
37 # with a mesh of  $n \times n \times n$  interim points
38 # (i.e.,  $dx = (2a)/(n+1)$ )
39 #
40
41 def make_lhs_matrix_3d(n, a):
42     # 3D laplacian matrix
43     L = scipy.sparse.diags([-6.0, 1.0, 1.0, 1.0, 1.0, 1.0, 1.0, 1.0 ],
44                             [ 0, 1, -1, n, -n, n*n, -n*n ],
45                             shape=(n**3, n**3))
46     # D = matrix representing the potential
47     l = np.linspace(-a, a, n+2)[1:-1]
48     x,y,z = np.meshgrid(l, l, l)
49     V = 1.0 / np.sqrt(x*x+y*y+z*z)
50     D = scipy.sparse.diags([ V.flatten() ], [ 0 ])
51     dx = (2.0 * a) / (n + 1)
52     a = -h_ * h_ / (2.0 * m * dx * dx)
53     b = -e * e / (4.0 * math.pi * eps)
54     # here, the "true" matrix is  $a * L + b * D$ , but
55     # to maintain human-readability of the matrix,
56     # we divide it by  $(-a)$ .
57     # we return the triple (scale, potential, matrix)
58     H_ = -L - (b/a) * D
59     return -a,V,H_
60
61
62 def visualize_3d(a, V, E, phis):
63     """
64     visualize the result
65     a : half of the side length of the cube in which
66         we simulated. that is, we calculated solutions
67         in the domain  $[-a,a]^3$ 
68     V : the  $n \times n \times n$  3D array describing the potential
69         in the above domain. n is the number of points
70         along each axis.
71     E : a 1D array describing eigenvalues we obtained
72     phis : a  $(n**3) \times n_f$  2D array describing eigenfunctions
73           we obtained. n is the number of points
74           along each axis and  $n_f$  the number of eigenvalues
75           we obtained.
76
77     this function shows them in a tile of graphs like this.
78 
```

```

79
80
81 +-----+-----+-----+-----+-----+
82 | 1 | 2 | 3 | .. | | |nf+1|
83 | V |phi0|phi1| | | |phi[nf-1]|
84 |(2D)| (2D)| (2D)| | | |(2D)|
85 +-----+-----+-----+-----+-----+
86 |nf+2|nf+3|nf+4| .. | | |2(nf+1)|
87 | | | | | | |
88 | V |phi0|phi1| | | |phi[nf-1]|
89 |(1D)| (1D)| (1D)| | | |(1D)|
90 +-----+-----+-----+-----+-----+
91 """
92
93 #
94 # n : number of lattice points
95 # nf : the number of eigenvalues/functions we found
96 print "Eigenvalues = %s" % E
97 n3,nf = phis.shape
98 n = int(math.pow(n3+0.01, 1.0/3.0))
99 assert(n ** 3 == n3), (n, n3)
100 l = np.linspace(-a, a, n+2)[1:-1]
101 x,y = np.meshgrid(l,l)
102 # number of rows/columns of the tile above
103 row = 2
104 col = nf + 1
105 # really start working
106 fig = plt.figure()
107 # show V, both in 1D and 2D
108 ax2d = fig.add_subplot(row,col,1)
109 ax2d.set_title("potential (2D; z=0)")
110 ax2d.pcolor(x, y, V[:, :, n/2])
111 ax1d = fig.add_subplot(row,col,nf+2)
112 ax1d.set_title("potential (1D; y=z=0)")
113 ax1d.plot(l, V[:, n/2, n/2])
114 # show nf eigenvalues/functions
115 for k in range(nf):
116     # extract k-th column of phis
117     phi = phis[:,k].reshape(n,n,n)
118     # show in 2D
119     ax2 = fig.add_subplot(row,col,k+2)
120     ax2.set_title("phi^2 (2D; E=%e)" % E[k])
121     f = phi[:, :, n/2] * phi[:, :, n/2].conjugate()
122     ax2.pcolor(x, y, f)
123     # show in 1D
124     ax1 = fig.add_subplot(row,col,k+nf+3)
125     ax1.set_title("phi^2 (1D; E=%e)" % E[k])
126     f = phi[:, n/2, n/2] * phi[:, n/2, n/2].conjugate()
127     ax1.plot(l, f)
128 plt.show()
129
130 def hydrogen(n):
131     """
132     solve shrodinger equation of a hydrogen
133     atom (or a hydrogen-like ion that has
134     only one electron) in a cube, using
135     n x n x n lattice points.
136
137     """
138     # simulate in [-a,a]x[-a,a]x[-a,a]
139     a = 3 * r
140     # we get a trouble if n is odd, as an origin
141     # will be included in the lattice, at which
142     # the potential is infinite
143     if n % 2 != 0:
144         sys.stderr.write("avoid using an odd n to avoid "
145             "zero division near the origin, "
146             "fixed it to %d\n" % (n + 1))
147         n = n + 1
148     # get H of Hx = Ex, along with potential V
149     # for visualization purpose.
150     # the returned H_ is actually a matrix such
151     # that scale * H_ is the real matrix.
152     # so we need to scale returned eigenvalues
153     scale,V,H_ = make_lhs_matrix_3d(n, a)
154     # scale MUST BE > 0.0 so that finding
155     # algebraically smallest eigenvalues returns
156     # eigenvalues we want; otherwise we could fix
157     # that by finding largest ones, but do not bother
158     assert(scale > 0.0)
159     # error tolerance
160     tol = 1e-6
161     t0 = time.time()
162     # find algebraically smallest 6 eigenvalues of H
163     E,phis = scipy.sparse.linalg.eigsh(H_, k=6, which='SA', tol=tol)
164     t1 = time.time()
165     print "%f sec" % (t1 - t0)
166     visualize_3d(a, V, scale * E, phis)

```